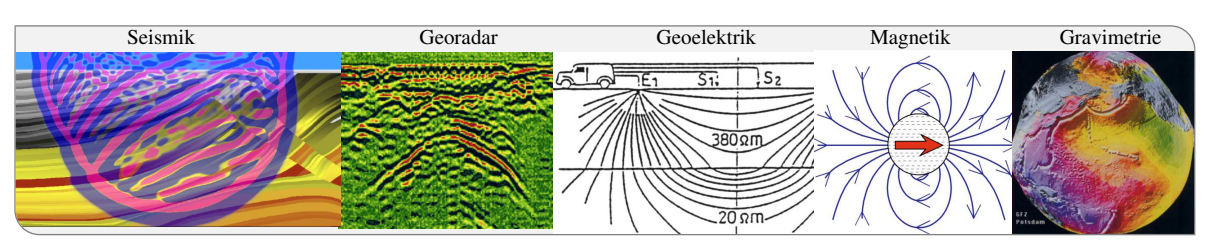


Einführung in die Geophysik I

Gravimetrie II

Thomas Bohlen, Geophysikalisches Institut, Fakultät für Physik



Inhalte der Vorlesung im Semester WS 2022/23



| Einführung | (02.11) |
|------------|---------|
|------------|---------|

Seismische Wellenausbreitung (02.11, 09.11)

3 Refraktionsseismik (16.11)

Reflexionsseismik
 (23.11)

Elektromagnetische Verfahren
 (30.11, 07.12, 14.12)

6 Geoelektrik (11.01)

7 Gravimetrie (18.01, 25.01)

3 Magnetik (01.02, 08.02)

Die Klausur findet voraussichtlich am 15.02.2023 statt.

Agenda

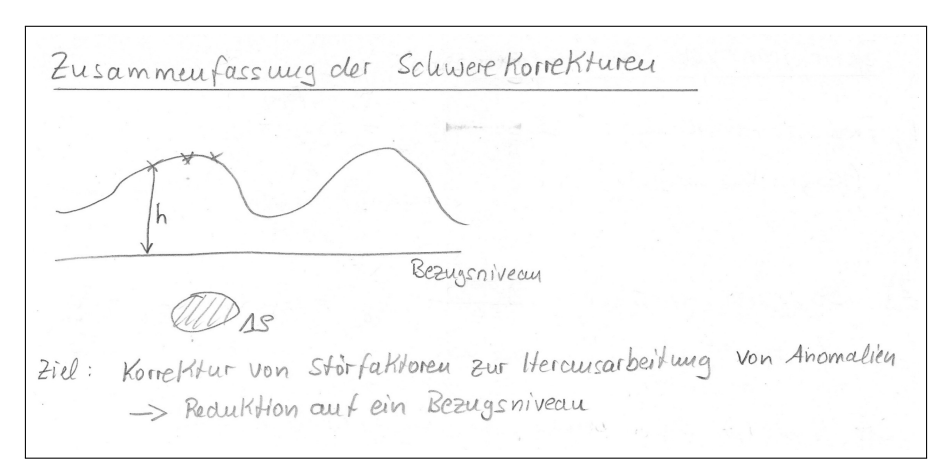


- Zusammenfassung Schwerereduktionen
- Schwerereanomalien
- Messung der Schwere
- Oberflächennahe Erkundung
- Zusammenfassung
- Referenzen



Zusammenfassung der Schwerereduktionen





Schwerereduktionen



Das Ziel der Reduktionen ist die Korrektur von Störfaktoren, die das gravimetrische Signal einer Anomalie der Dichte im Untergrund verdecken können.

Störfaktoren

- Fliehkraft durch Erdrotation
- 2 Topographie der Erdoberfläche
- Umgebende bekannte Gesteinsschichten
- 4 Berge/Täler
- Gezeiten

Korrekturen

- a) Normalschwererereduktion und b) Breitenkorrektur
- 2 Freiluftreduktion
- Bouguerreduktion
- Geländereduktion
- Basismessung



5 | 37



Zusammenfassung der Schwerereduktionen

```
1a) Normalschwerereduktion
                    - Korre Ktur der Gravitation des Eleipsoids und
                         der Feieli Kraft
         80 = \frac{a \, \chi_a \, \cos^2(\gamma) + C \, \chi_c \, \sin^2 \gamma}{\sqrt{a^2 \cos^2 t + c^2 \sin^2 \gamma}} \qquad a = 6378 \, \text{km} \quad \text{iquator}
C = 6357 \, \text{km} \quad \text{Pol}
\chi_a = 9,780 \, \text{m} \quad \text{Aquator}
\chi_b = 9,832 \, \text{m} \quad \text{So}
\chi_b = 9,832 \, \text{m} \quad \text{So}
                                                                                           l: geogr. Breite
            Breiten reduktion
             180 = 8,1 10 sin2 (2 PB) · 14 [mgal] 14: Profiledistante in N-s-Richtung
                Lokule Korrektur zu 1a
```





- 3) Bougerreduktion
 - Jar = 2T G Sh [mgal]
- Gelanderecluktion Basismessuug

Agenda



- Zusammenfassung Schwerereduktionen
- Schwerereanomalien
- Messung der Schwere
- Oberflächennahe Erkundung
- Zusammenfassung
- Referenzen







```
Definition von Anomalien

1) Freiluft-Anomalie: \Delta g_{Fe} = g_{obs} + \delta g_{Fe} - 80

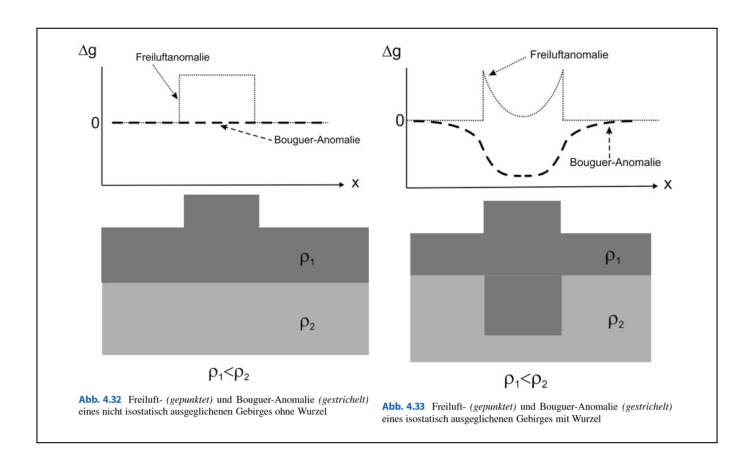
(Keine Massenkonektur)

(+ \delta g_{Topo})

The Mornalschube
  2) Bouguer-Anomalie AgB = 90bs + OgFe + OgFopo - OgB
          (enthalt) auch Masseukonektur)
    Der Vergleich dieser beiden Anomalien Kann etwas
    über die Mossenverteilug im Untergrund auszagen.
Onicht
Vergleich Agge und Agg bei isastatisch ausgeglichenem
      Gebirge:
```

Interpretation von Freiluft- und Bouguer-Anomalie über einem Gebirge





Interpretation von Freiluft- und Bouguer-Anomalie über einem Gebirge



- Isostatisch nicht ausgeglichenes Gebirge (keine Gebirgswurzel)
 - Fleiluftanomalie korreliert mit der Topographie (Wirkung der zusätzliche Masse des Gebirges)
 - Bouqueranomalie zeigt keine ausgeprägte Veränderung (keine Gebirgswurzel)
- Isostatisch ausgeglichenes Gebirge (mit Gebirgswurzel)
 - Fleiluftanaomalie zeigt Sprünge an Gebirgsflanken (zusätzliche Masse des Gebirges)
 - Fleiluftanaomalie zeigt Minimum im Zentrum des Gebirges (Wirkung der Gebirgswurzel)
 - Bougueranomalie zeigt negative Anomalie (Wirkung der Gebirgswurzel)



Globale Karten der Freiluft- und Bougueranomalien

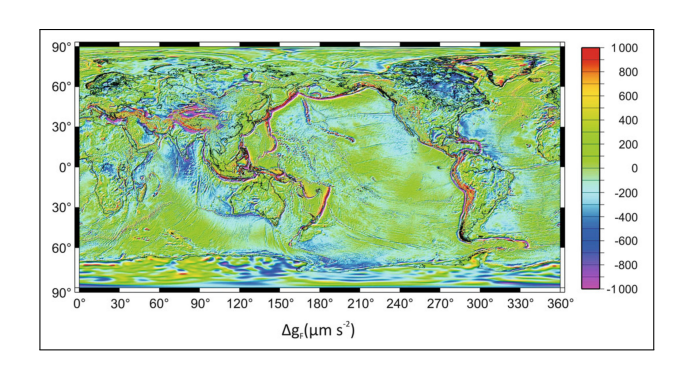


- Das diesen Darstellungen zugrunde liegende Schweremodell kombiniert Daten der Satelliten GRACE und LAGEOS mit an Land und auf See gewonnenen Schweredaten.
- Diese gemessenen Daten wurden angepasst ein ein globales Modell (Kugelfunktionsentwicklung bis zum Grad I=2190 und zur Ordnung m=2159).
- Auf diese Weise liegt ein globales Schweremodell vor, welches auch die Satellitendaten beschreibt. Der über den ganzen Globus gemittelte Gesamtfehler der Schwereanomalie beträgt 40 – 170 µm/s².



Globale Freiluftanomalie



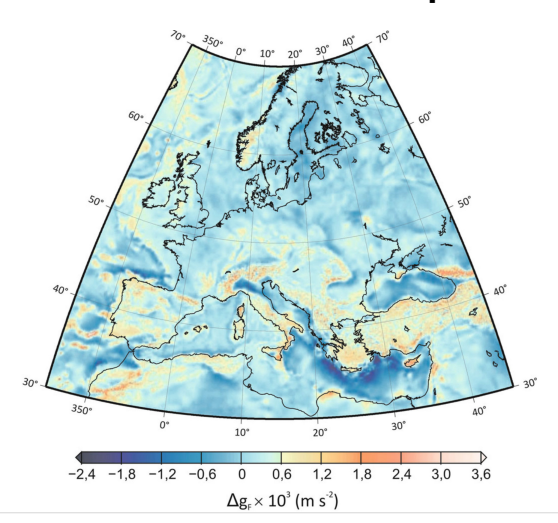


- Die Gebirgsketten und mittelozeanischen Rücken sind wegen der mit ihnen verbundenen Überschussmasse durch positive Werte gekennzeichnet.
- Die großen Sedimentbecken durch negative Werte wegen ihrer im Vergleich mit dem Grundgebirge geringeren Dichten .
- Deutlich sind auch Subduktionsund Bruchzonen zu erkennen sowie die Ketten der Tiefseeberge.
- Gebirge ohne Wurzel weisen positive Freiluftanomalien auf.



Freiluftanomalie in Europa



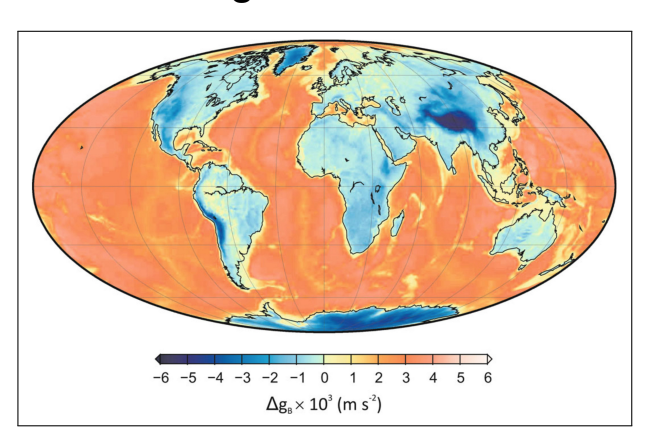


- Gebirge ohne Wurzel, wie z. B. Schwarzwald und Vogesen, weisen positive Freiluftanomalien auf.
- In Europa: Hochgebirge (von W nach E: Pyrenäen, Alpen, Hohe Tatra, Karpaten) und Mittelgebirge (z.B. Vogesen und Zentralmassiv in Frankreich; Schwarzwald, Rheinisches Schild, Bayerischer Wald in Deutschland; Apennin in Italien; Dinariden auf dem Balkan).



Globale Bougueranomalie





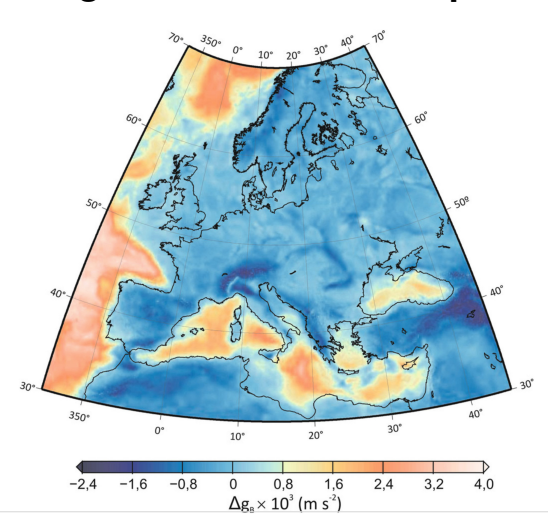
Negative Anomalien

- Wurzeln der weitgehend isostatisch kompensierten Gebirgsketten von Himalaya, Anden und Rocky Mountains.
- Unter ihrer Eislast in den Mantel eingesunkene Kruste Grönlands und der Antarktis.



Bouqueranomalie in Europa





- An ihren negativen Anomalien erkannt man die Wurzeln der weitgehend isostatisch kompensierten Gebirgsketten von Alpen, Karpaten und Pyrenäen.
- Ebenso die sich nach dem Abschmelzen ihrer Gletscherbedeckung noch immer in Hebung befindliche, isostatisch nicht ausgeglichene Kruste Fennoskandiens.



Bougueranomalie in Deutschland



Abb. 4.36 Karte der Bonene Anomalien Δr_0 (4.89) in Deutschland und grenznaben Gebieten der Nachbarländer. becaren auf das International Gravity Standardization Net 1971 (IGSN71) und die GRS80-Nivemellinsoids Das Isolinien-Intervall be triiot 10⁻⁵ u.m.s⁻². File die Berechnung der sphärischen Bouguer-Reduktion bis 166 7 km munda eine Dichte von 2670 kg m⁻³ verwendet. Dos Reduktionsniveau lag bei 0 m über NN (Quelle: © LIAG 2010a)



 $\Delta g_0 \times 10^5 \, (\text{m s}^2)$

- Das ausgeprägte Minimum unter den Alpen von bis zu 800 μm/s² wird durch das tiefe Eintauchen ihrer weniger dichten Gebirgswurzel in den dichteren Mantel bewirkt.
- Gebirge ohne Wurzel, wie z. B. Schwarzwald und Vogesen, zeigen keine oder nur schwach ausgeprägte Anomalien.
- Keine Signatur von Harz und Schwarzwald: Fehlen entsprechender Gebirgswurzeln.
- Signaturen des Oberrheingrabens sowie der Niederrheinischen Bucht und der vulkanischen Intrusionen im norddeutschen Sedimentbecken.

Agenda

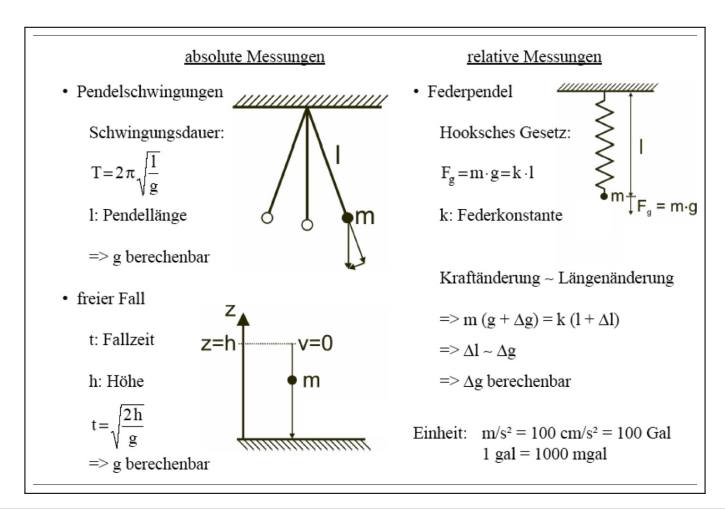


- Zusammenfassung Schwerereduktionen
- Schwerereanomalien
- Messung der Schwere
- Oberflächennahe Erkundung
- Zusammenfassung
- Referenzen





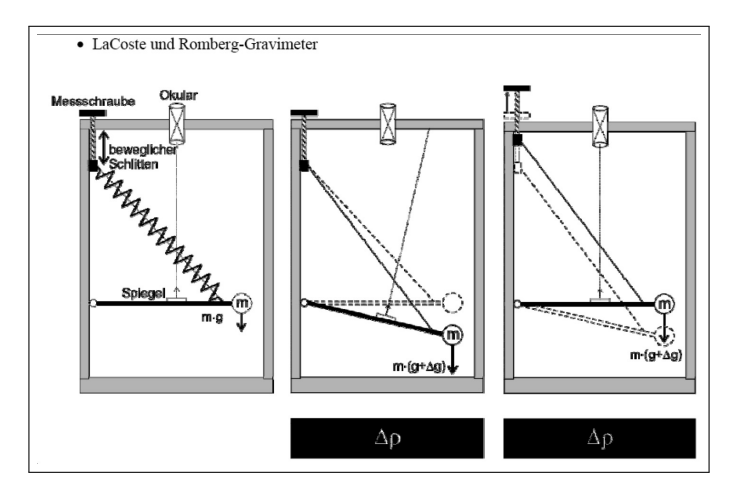








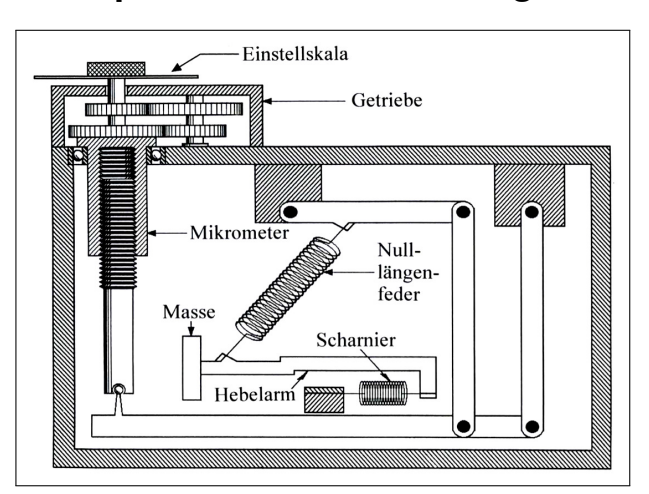












Die Genauigkeit liegt heute in der Größenordnung 10^{-7} bis $10^{-8}m/s^2$. Die Ablesung erfolgt elektronisch.



Supraleitendes Gravimeter SG056 am BFO





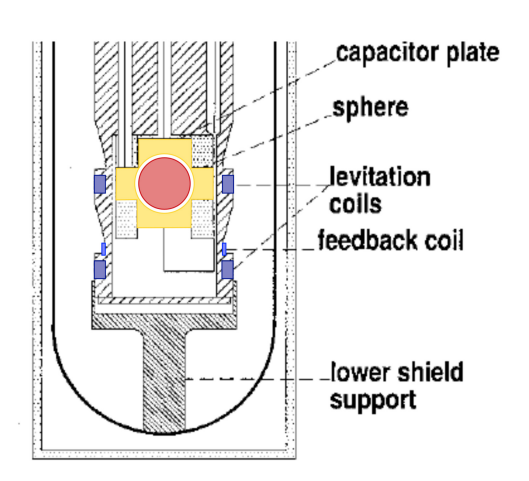
Eine supraleitende Probemasse ist in einem Magnetfeld aufgehängt, das von Strömen in supraleitenden Spulen erzeugt wird. Das SG056 am BFO ist ein Doppelkugelgerät mit zwei Sensoren

- Bei einem supraleitenden Gravimeter ersetzt ein Magnetfeld, das von zwei supraleitenden Spulen erzeugt wird, die mechanische Feder. Der Vorteil dieses Sensorsystems liegt darin, dass es eine hohe Langzeitstabilität gewährleistet. Die Probemasse bildet eine Hohlkugel aus Niob mit 25.4 mm Durchmesser.
- Erreicht wird die für die Supraleitung erforderliche tiefe Temperatur durch flüssiges Helium, das sich in einem Dewar-Gefäß befindet, in dem das eigentliche Gravimeter hängt.



Supraleitendes Gravimeter SG056 am BFO





- Beschleunigungsänderungen lenken den Probekörper aus der definierten Nulllage. Durch ein Regelsystem, wird die Probemasse in die Nullposition zurückgeführt. Das Messsignal liefert die Spannung, die hierfür erforderlich ist.
- Supraleitende Gravimeter zeichnen sich durch eine sehr hohe Auflösung aus, die kleiner als $0.1 \cdot 10^{-9} m/s^2$ ist.
- Die hohe Geneuigkeit wird erziehlt durch die Betriebsbedingungen nahe dem absoluten Nullpunkt und die fast vollständige Abschirmung des Sensors vor Umgebungseinflüssen wie Temperatur, Luftdruck und Magnetfelder.
- Durch die Verwendung supraleitender Spulen, in denen Ströme dauerhaft und konstant fließen, ist der Gang kleiner als 100 nm/s² pro Jahr



Schweremessungen durch Bahnstörungen von Satelliten



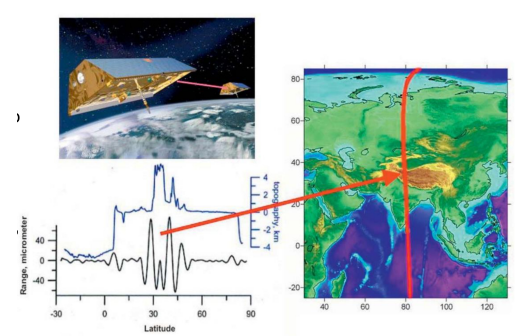


Abb. 3: Das GRACE-Satellitenpaar und das Prinzip der K-Band-Messung dieser Tandem-Satellitenmission

Satellitenpaar GRACE fliegt seit 2002 in einer Höhe von 450-500 km in einem Abstand von 200 km. Sie machen 15 Erdumläufe pro Tag (Förste 2010).

- Mittels eines Mikrowellen-Messsystems im K-Rand wird der Abstand zwischen beiden Satelliten auf 1/100 Millimeter genau vermessen.
- Überfliegt das Satellitenpaar eine positive Massenanomalie, z. B. ein großes Gebirgsmassiv, so wird der vorausfliegende Satellit bei der Annäherung stärker beschleunigt als der ihm folgende Satellit und der Abstand zwischen beiden Satelliten. vergrößert sich. Überguert der erste Satellit die Anomalie, beginnt für ihn die Abbremsphase, während der zweite noch beschleuniat wird.



Messungen von Schweregradienten in Satelliten



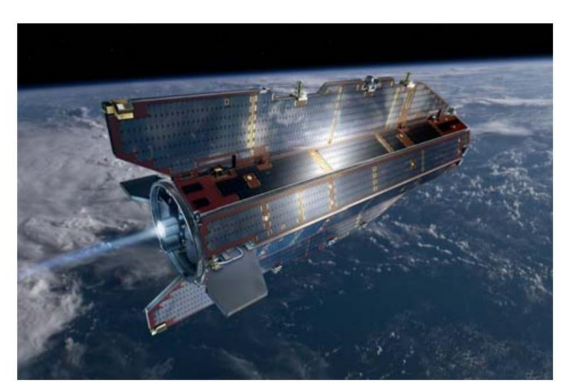


Abb. 4: Künstlerische Animation des Satelliten GOCE (Quelle: ESA - AOES Medialab)

Satellit GOCE flog 2009-2013 in 250 km Höhe. (Förste (2010)

- Der Massenschwerpunkt eines die Erde umkreisenden Satelliten befindet sich im schwerelosen Zustand
- In geringem Abstand vom Massenschwerpunkt sind differentielle Schwerkräfte (Schweregradienten) spürbar, die als Beschleunigungsdifferenzen messbar sind.
- Dafür enthält der GOCF-Satellit sechs Beschleunigungsmesser, die paarweise im Abstand von ca. 0.5 m in den drei Raumrichtungen symmetrisch zum Massenschwerpunkt angeordnet sind.
- Steigerung der räumlichen Auflösung gegenüber GRACE um den Faktor 2



Agenda



- Zusammenfassung Schwerereduktionen
- Schwerereanomalien
- Messung der Schwere
- Oberflächennahe Erkundung
- Zusammenfassung
- Referenzen



Auswertung von Schwereanomalien

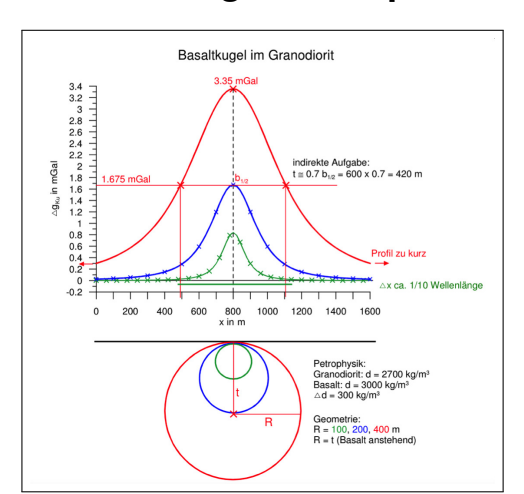


- Zur Auswertung wird eine iterative Inversion der an der Erdoberfläche beobachteten Beschleunigung $\triangle g(x, y, z = z_0)$ durchgeführt.
- Man erhält ein Dichtemodell $\rho(x, y, z)$.
- Die Anpassung der Daten gelingt meistens sehr gut.
- Zur Reduktion der Anzahl der freien Parameter besteht das Computer-Modell oft aus geometrisch einfachen Objekte wie Schichten, Kugeln und Prismen, die in der Form und Position verändert werden können.
- Die Mehrdeutigkeiten sind in der Regel sehr groß, d.h. es existieren viele äquivalente Modelle $\rho(x,y,z)$, die die Beobachtungen $\triangle g(x,y,z=z_0)$ gleich gut beschreiben können.







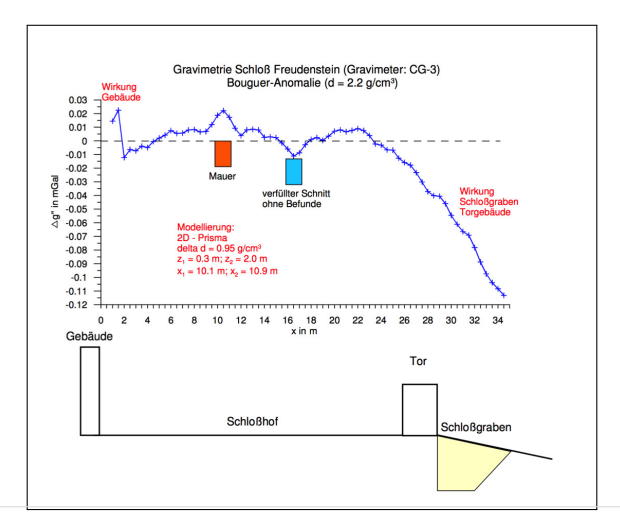


Je tiefer die Anomalie desto geringer die Amplitude des Signals und desto räumlich ausgedehnter ist die Anomalie an der Erdoberfläche





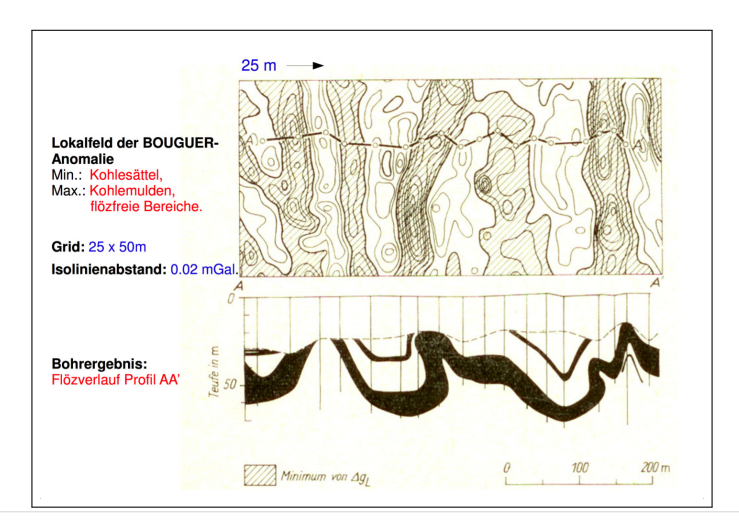






Prospektion Kohleflöze







Agenda



- Zusammenfassung Schwerereduktionen
- Schwerereanomalien
- Messung der Schwere
- Oberflächennahe Erkundung
- Zusammenfassung
- Referenzen



Zusammenfassung



- Vor der Interpretation einer Schweremessungen müssen verschiedene Korrekturen durchaeführt werden:
 - Die Fliehkraft durch Erdrotation wird durch die Normalschwerereduktion und Breitenreduktion eliminiert.
 - Höhenveränderungen durch Geländetopographie werden durch die Freiluftreduktion korrigiert.
 - Die mittlere Gesteinswirkung umgebender Gesteine wird durch die Bougerreduktion heraus aerechnet.
 - Die Wirkung benachbarter Berge und Täler wird durch die Geländereduktion entfernt.
 - Zeitabhängige Veränderungen durch Gezeiten können durch die Subtraktion einer Basismessung berücksichtigt/entfernt werden.



Zusammenfassung



- Interpretation von Schereanomalien
 - Die Freiluftanomalie korreliert mit der Topographie.
 - Die Bouguer-Anomalie zeigt laterale Dichteveränderungen unterhalb des Bezugsniveaus an.
 - Eine gemeinsame Auswertung der Freiluft- und Bouguer-Anomalie kann Hinweise auf z.B. Gebirgswurzeln geben.



Zusammenfassung



- Die Schwere kann auf viele verschiedene Arten mit unterschiedlicher Genauigkeit gemessen werden:
 - Absolutgravimeter messen die absolute Beschleunigung, z.B. im Fallversuch.
 - Relativgravimeter die räumlichen (lateralen) Veränderungen: LaCoste-Romberg. Supraleitende Gravimeter, Satelliten.
 - Die größte Genauigkeit und Langzeitstabilität kann heue mit (stationären) supraleitenden Gravimetern erzielt werden
 - Die Beobachtungen von Satelliten erlaubten in den letzten 10 Jahren erstmals die globale Abtastung der Schwerefeldes mit sehr guter Genauigkeit.
 - Diese zeigen u.a. die Dynamik im Erdinneren und sogar kleinräumige tektonische Verschiebungen, z.B. nach einem Erdbeben.
- In der oberflächennahen Erkundung ist die Mikrogravimetrie eine effiziente Methode zur Detektion von oberflächennahen Dichteanomalien







Vielen Dank für Ihre Aufmerksamkeit

Thomas.Bohlen@kit.edu

http://www.gpi.kit.edu/

Veröffentlicht unter © 00 Lizenz.



Agenda



- Zusammenfassung Schwerereduktionen
- Schwerereanomalien
- Messung der Schwere
- Oberflächennahe Erkundung
- Zusammenfassung
- Referenzen



Referenzen



Clauser, C. (2016), *Einführung in die Geophysik : globale physikalische Felder und Prozesse in der Erde*, 2., aktualisierte und korrigierte auflage edn, Springer Spektrum. **URL:** http://d-nb.info/1071247999/04

Förste, C. (2010), 'Das Schwerefeld der Erde und seine Vermessung mit Satelliten', *Vermessung Brandenburg* **15**(1), 109–120.

URL: https://gfzpublic.gfz-potsdam.de/pubman/item_243574